

Última actualización de la información: Marzo 2025

Configuraciones productos: RN92.R8

RN92.R8: Luminaria de suspensión - Ø172 - UGR < 19 - Negro/Trasparente/Negro Transparente



Código producto

RN92.R8: Luminaria de suspensión - Ø172 - UGR < 19 - Negro/Trasparente/Negro Transparente

Descripción

Luminaria para iluminación directa - instalación de suspensión. Lámpara LED de alto índice de rendimiento cromático - emisión de luminancia controlada $L < 3000 \text{ cd/mq}$ - UGR < 19 - ideal para espacios donde se utilizan videoterminales. Grupo emisor en PMMA con reflector prismatizado transparente combinado con recuperador de flujo y apantallamiento difusor - una tapa interior de policarbonato caracteriza a nivel visual el grupo óptico. Estructura exterior del cuerpo luminoso de doble efecto en aluminio torneado - acabado con pintura uniforme o combinada. El práctico sistema de fijación de bayoneta permite separar las dos secciones para realizar todas las operaciones previas a la aplicación en suspensión. La parte superior del cuerpo luminoso está preparada para regular la longitud, el cableado y el bloqueo de los cables de suspensión / alimentación que se suministra con la base accesoria indispensable para completar el producto. Unidad de alimentación regulable DALI integrada.

Instalación

instalación en suspensión con base accesoria a pedir por separado.

Colores

Negro/Trasparente/Negro Transparente (R8)

Peso (Kg)

1.09

Montaje

suspendido del techo

Equipo

Controlador regulable DALI integrado - regleta de conexión en la sección superior de la estructura.

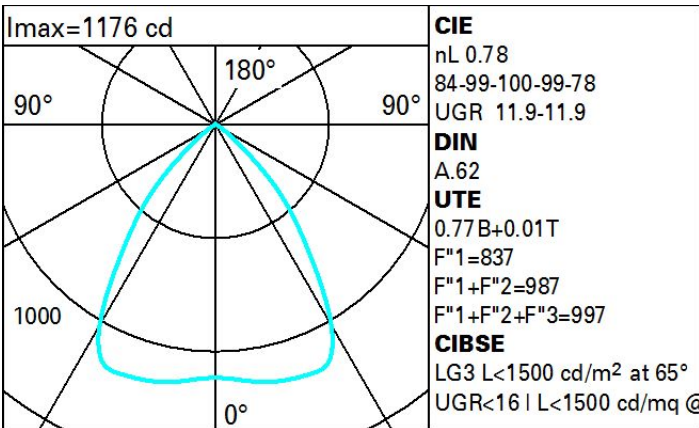
Se conforma con EN60598-1 y regulaciones pertinentes



Datos técnicos

| | | | |
|---|-------|--------------------------------------|--------|
| Im de sistema: | 1802 | CRI (mínimo): | 90 |
| W de sistema: | 16 | Temperatura de color [K]: | 3000 |
| Im de la fuente: | 2310 | MacAdam Step: | 2 |
| W de la fuente: | 16 | Código de lámpara: | LED |
| Eficiencia luminosa (lm/W, valor del sistema): | 112.6 | Número de lámparas por grupo óptico: | 1 |
| Im en modo emergencia: | - | Código ZVEI: | LED |
| Flujo total de emisión en un ángulo de 90° o superior [Lm]: | 19 | Número de grupos ópticos: | 1 |
| Light Output Ratio (L.O.R.) [%]: | 78 | Control: | DALI-2 |

Polar



Coefficientes de uso

| R | 77 | 75 | 73 | 71 | 55 | 53 | 33 | 00 | DRR |
|------|----|----|----|----|----|----|----|----|-----|
| K0.8 | 64 | 59 | 56 | 53 | 58 | 55 | 54 | 51 | 66 |
| 1.0 | 68 | 64 | 60 | 58 | 63 | 60 | 59 | 56 | 72 |
| 1.5 | 74 | 70 | 68 | 65 | 69 | 67 | 66 | 63 | 81 |
| 2.0 | 77 | 74 | 72 | 70 | 73 | 71 | 70 | 67 | 87 |
| 2.5 | 79 | 77 | 75 | 73 | 75 | 74 | 73 | 70 | 91 |
| 3.0 | 80 | 78 | 77 | 75 | 77 | 75 | 74 | 72 | 93 |
| 4.0 | 81 | 80 | 79 | 78 | 78 | 77 | 76 | 73 | 95 |
| 5.0 | 82 | 81 | 80 | 79 | 79 | 78 | 77 | 74 | 96 |

Curva límite de luminancia

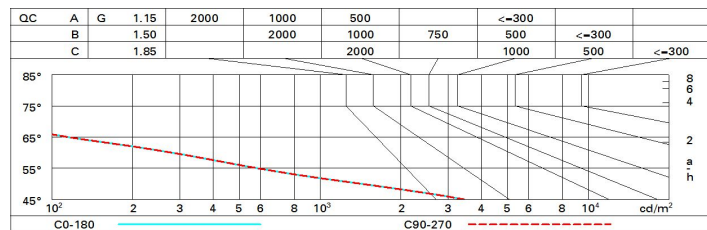


Diagrama UGR

| Corrected UGR values (at 2310 lm bare lamp luminous flux) | | | | | | | | | | | |
|---|------|---------------------|------|------|------|------|-------------------|------|------|------|------|
| Reflect.: ceil/cav walls work pl. Room dim x y | | viewed crosswise | | | | | viewed endwise | | | | |
| | | 0.70 | 0.70 | 0.50 | 0.50 | 0.30 | 0.70 | 0.70 | 0.50 | 0.50 | 0.30 |
| | | 0.50 | 0.30 | 0.50 | 0.30 | 0.30 | 0.50 | 0.30 | 0.50 | 0.30 | 0.30 |
| | | 0.20 | 0.20 | 0.20 | 0.20 | 0.20 | 0.20 | 0.20 | 0.20 | 0.20 | 0.20 |
| | | | | | | | | | | | |
| 2H | 2H | 12.4 | 13.2 | 12.7 | 13.5 | 13.7 | 12.4 | 13.2 | 12.7 | 13.5 | 13.7 |
| | 3H | 12.3 | 13.0 | 12.6 | 13.3 | 13.6 | 12.3 | 13.0 | 12.7 | 13.3 | 13.6 |
| | 4H | 12.2 | 12.9 | 12.6 | 13.2 | 13.5 | 12.2 | 12.9 | 12.6 | 13.2 | 13.5 |
| | 6H | 12.1 | 12.7 | 12.5 | 13.1 | 13.4 | 12.2 | 12.7 | 12.5 | 13.1 | 13.4 |
| | 8H | 12.1 | 12.7 | 12.5 | 13.0 | 13.4 | 12.1 | 12.7 | 12.5 | 13.0 | 13.4 |
| | 12H | 12.1 | 12.6 | 12.5 | 13.0 | 13.4 | 12.1 | 12.6 | 12.5 | 13.0 | 13.4 |
| 4H | 2H | 12.2 | 12.9 | 12.6 | 13.2 | 13.5 | 12.2 | 12.9 | 12.6 | 13.2 | 13.5 |
| | 3H | 12.1 | 12.6 | 12.5 | 13.0 | 13.4 | 12.1 | 12.6 | 12.5 | 13.0 | 13.4 |
| | 4H | 12.0 | 12.5 | 12.4 | 12.9 | 13.3 | 12.0 | 12.5 | 12.4 | 12.9 | 13.3 |
| | 6H | 11.9 | 12.3 | 12.4 | 12.8 | 13.2 | 11.9 | 12.3 | 12.4 | 12.7 | 13.2 |
| | 8H | 11.9 | 12.3 | 12.3 | 12.7 | 13.2 | 11.9 | 12.3 | 12.3 | 12.7 | 13.1 |
| | 12H | 11.8 | 12.2 | 12.3 | 12.6 | 13.1 | 11.8 | 12.2 | 12.3 | 12.6 | 13.1 |
| 8H | 4H | 11.9 | 12.3 | 12.3 | 12.7 | 13.1 | 11.9 | 12.3 | 12.3 | 12.7 | 13.2 |
| | 6H | 11.8 | 12.1 | 12.3 | 12.6 | 13.1 | 11.8 | 12.1 | 12.3 | 12.6 | 13.1 |
| | 8H | 11.7 | 12.0 | 12.2 | 12.5 | 13.0 | 11.7 | 12.0 | 12.2 | 12.5 | 13.0 |
| | 12H | 11.7 | 11.9 | 12.2 | 12.4 | 13.0 | 11.7 | 11.9 | 12.2 | 12.4 | 13.0 |
| 12H | 4H | 11.8 | 12.2 | 12.3 | 12.6 | 13.1 | 11.8 | 12.2 | 12.3 | 12.6 | 13.1 |
| | 6H | 11.7 | 12.0 | 12.2 | 12.5 | 13.0 | 11.7 | 12.0 | 12.2 | 12.5 | 13.0 |
| | 8H | 11.7 | 11.9 | 12.2 | 12.4 | 13.0 | 11.7 | 11.9 | 12.2 | 12.4 | 13.0 |
| Variations with the observer position at spacing: | | | | | | | | | | | |
| S = | 1.0H | 3.1 / -8.4 | | | | | 3.1 / -8.4 | | | | |
| | 1.5H | 5.7 / -12.9 | | | | | 5.7 / -12.9 | | | | |
| | 2.0H | 7.7 / -15.2 | | | | | 7.7 / -15.2 | | | | |